

## 파형 부호화 방식에 의한 음성신호 압축에 관한 연구

° 안동순, 조병모, 차일환  
연세대학교 전자공학과

### The Study on the Speech Signal Compression by the Coding Method

Ann, Dong Soon, Cho, Byoung Mo, Cha, Il Whan

Yonsei University Dept. of Electronic Eng.

#### Abstract

**Speech sound includes personality, move and feeling.**  
**Respectively, that is different from man and woman,**  
**youn and old.**

In this paper, sentence "Sip E Il Ka Gi Seo Ul E Gan Da" A/D conversion time is 50 $\mu$ sec. Data are obtained using the microcomputer and compressed by ADPCM. Rate of compression is 1/8.

Data compressed by ADPCM are synthesized and compared to the original sound.

Rate of speech identification is analysed using the sound pressure, white noise.

Coding of ADPCM is done for 5 bit.

As the result of fixing starting voltage by 2.6V.

It is ascertained that variable value increase in initial speech signal and then process is made by minimum value "3".

From the result of processing, synthesized sound is almost equal to original sound.

Minimum values cause distortion, Dummy Head System is used in this experiment.

#### 요약

음성은 말하는 사람의 개성, 감정, 정서를 포함하고 있으며 또한 남녀 노소에 따라서 다른 구별되는 소리를 듣게 된다.

본 연구에서는 4인의 화자에 대해서 발생된 3초의 (12일까지 서울에 간다) 시간 길이를 갖는 문장을 사용하였다. 변환시간 (conversion time)은 50마이크로초 ( $\mu$ -sec)로 하였으며 8-bit 마이크로-프로세서 ( $\mu$ -processor)로 데이터 (data)를 받은 다음 ADPCM-method에 의하여 디지털 음성신호를 처리하였다. Digital 음성신호의 시작점 (starting point)를 2.6 volt로 잡아 준 결과 ADPCM의 최소화값 (minimum value)에 따라서 원래의 음성파형은 초기치에서 변화량 (variable value)이 크게 될을 확인한 다음 최소화값을 시뮬레이션을 통하여 최적 스텝사이즈 ( $\Delta$  step size)를  $\Delta_{min} = 3$ 으로 처리하였다.

ADPCM 방식으로 합성된 음은 그 평가방법으로서 더미헤드 시스템 (dummy head)을 사용하여 음질을 평가하였다.

#### 1. 서론

기계와 인간과의 음성 통신은 음성 파형의 물리적 특성에 관한 과학적인 연구가 활발해 지면서 시작되었다. 1950년 Shannon이 정보이론을 발표하면서 음성의 정보전달에 관한 연구가 활발해지기 시작했다.

그후 델타변조 (Delta modulation)에 의한 합성 Voice Coder 형 음성 합성기 등이 발표되었고 pollack (1954)에 의한 청각에 의한 인식이 발표되었다. 1960년대의 computer를 이용한 델타 합성에 관한 연구, voice printer 규칙 합성 수법, 음성 응답장치 등이 발명되었다. 1970년과 1980년도 사이에는 음성파형을 응용하여 학습의 수단이나 연구의 목적 등에 이용하였다.

본 연구에서는 한국어의 문장음을  $\mu$ -processor를 이용하여 합성한 다음 그에 대한 평가방법으로써 dummy-head를 이용하여 음향특성이 음질에 끼치는 영향을 고려하므로서 음성식별, 음성이해를 위한 자료로서 사용될 수 있다.

## 2. 본 론

### 2-1. 음성 합성방식

음성 합성 방식은 과형부호와 방식, 스펙트럼 부호와 방식, 규칙 합성방식으로 나눌 수 있다. 과형부호와 방식은 파라메타가 과형이며 PCM, APCM, DM, ADM, CSM, DPCM, ADPCM 방식등으로 나누어진다. 스펙트럼 부호화 방식은 PARCOR, LSP, Vocoder 방식등으로 나누어진다.

규칙 합성방식은 합성 음소 방식과 생성규칙에 의한 Spectrum Analog 방식이다. 이러한 방식들은 음성을 합성할 때의 필요한 정보량이 아주 작아진다는 잇점이 있다.

### 2-2. 음성 합성에 대한 이론

#### 2-2-1. 음성의 통계적 모델

음성 신호 과형은 ergodic random process로 가정하고 처리한다.

random process의 auto correlation은

$$\phi_a(\tau) = E [ X_a(t) X_a(t + \tau) ] \quad \langle 2-1 \rangle$$

analog power spectrum은  $\phi_a(\tau)$ 의 Fourier transform 이므로

$$\phi_a(\Omega) = \int_{-\infty}^{\infty} \phi_a(\tau) e^{-j\Omega\tau} d\tau \quad \langle 2-2 \rangle$$

Sampling random signal  $X_a(t)$ 의 discrete-time은

$$\phi(m) = E [ X_a(nT) X_a(nT + mT) ] = \phi_a(mT) \quad \langle 2-3 \rangle$$

$\phi(m)$ 의 power spectrum은

$$\phi(e^{j\Omega T}) = \sum_{m=-\infty}^{\infty} \phi(m) e^{-j\Omega T m}$$

$$= \frac{1}{T} \sum_{k=-\infty}^{\infty} \phi_a(\Omega + \frac{2\pi}{T} k) \quad \langle 2-4 \rangle$$

이 식은 음성신호의 random process model로 표현되고 있으며 원래 음성신호의 아나로그신호가 sampled signal의 power spectrum으로 표시된 것이다.

음성신호로부터 Probability density function을 추정하면 gamma distribution과 Laplacian density는

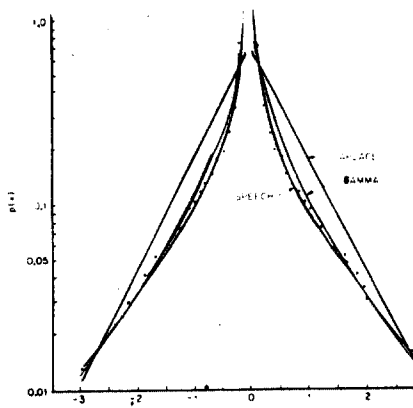
$$P(x) = \frac{1}{\sqrt{2}\sigma_x} e^{-\frac{\sqrt{2}x}{\sigma_x}}$$

$$P(x) = [\frac{\sqrt{3}}{8\pi\sigma_x}]^{\frac{1}{2}} e^{-\frac{\sqrt{3}x}{2\sigma_x}} \quad \langle 2-5 \rangle$$

시스템에서 quantizer의 입력은

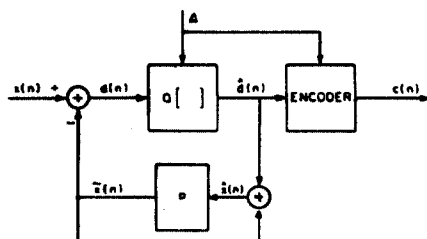
$$d(n) = x(n) - \tilde{x}(n) \quad \langle 2-6 \rangle$$

$x(n)$  : unquantized 입력표본치

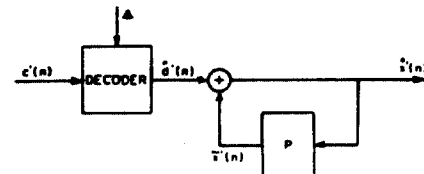


〈그림 2-1〉 음성신호의 실제 진폭의 pdf와 Laplacian pdf와 비교한 그림

#### 2-2-2. Differential quantization의 일반적 이론



〈그림 2-2〉 differential quantization coder



〈그림 2-3〉 differential quantization decoder

$\tilde{x}(n)$  : 입력신호의 추정치, 예전치

예전치는 예전계수 system의 P의 계수이다.

$d(n)$ 은 예전되는 error인 P의 출력이다.

양자화된 차분신호는

$$d(n) = d(n) + e(n) \quad \langle 2-7 \rangle$$

$e(n)$  : 양자화된 error

예전치  $\tilde{x}(n)$ 에 더해진 양자화된 차분신호는

$$\tilde{x}(n) = \tilde{x}(n) + d(n) \quad \langle 2-8 \rangle$$

식으로부터

$$x(n) = x(n) + e(n) \quad \langle 2-9 \rangle$$

여기서 양자화된 차분신호가 전송을 위해서 memory에 저장된다.

$$SNR = \frac{E[x^2(n)]}{E[e^2(n)]} = \frac{\sigma_x^2}{\sigma_e^2} \quad \langle 2-10 \rangle$$

이것은

$$SNR = \frac{\sigma_x^2}{\sigma_d^2} \cdot \frac{\sigma_d^2}{\sigma_e^2} = Gp \cdot SNR_Q \quad \dots \quad (2-11)$$

$$SNR_Q = \frac{\sigma_d^2}{\sigma_e^2} \quad \dots \quad (2-12)$$

이것이 quantizer 의 S/N rate 이다.

$$Gp = \frac{\sigma_x^2}{\sigma_d^2} \quad \dots \quad (2-13)$$

를 차분에 기인된 SNR의 gain 을 표시  $\sigma_x^2$  이 고정된 것으로 주어지면 Gp 는 분모를 최소화 함으로서 Gp의 값을 최대화 할 수 있다.

즉 prediction error의 변량을 최소화 함으로서 gain 을 증가시킬 수 있다.

$\tilde{x}(n)$  은 과거 양자화된 값의 선형 결합이다.

$$\tilde{x}(n) = \sum_{k=1}^P \alpha_k x(n-k) \quad \dots \quad (2-14)$$

이 예전치는 finite impulse response filter의 출력이다.

$$P(z) = \sum_{k=1}^P \alpha_k z^{-k} \quad \dots \quad (2-15)$$

$$H(z) = \frac{1}{1 - \sum_{k=1}^P \alpha_k z^{-k}} \quad \dots \quad (2-16)$$

이 system function의 출력이 재건된 impulse 응답 출력이다.

이 system의 prediction error의 variance는

$$\begin{aligned} \sigma_d^2 &= E[d^2(n)] = E[(x(n) - \tilde{x}(n))^2] \\ &= E[(x(n) - \sum_{k=1}^P \alpha_k x(n-k))^2] \\ &= E\{[x(n) - \sum_{k=1}^P \alpha_k x(n-k) - \sum_{k=1}^P \alpha_k e(n-k)]^2\} \end{aligned} \quad \dots \quad (2-17)$$

predictor의 계수  $\{\alpha_j\}$ ,  $1 \leq j \leq P$  를 선택하기 위해서  $\sigma_d^2$  을 minimize 하고 각 parameter에 대해서  $\sigma_d^2$  가 나누어지고 또 그 미분은 Zero 와 같다.

$$\begin{aligned} \frac{\partial \sigma_d^2}{\partial \alpha_j} &= -2 E[(x(n) - \sum_{k=1}^P \alpha_k x(n-k) + e(n-k)) \cdot (x(n-j) + e(n-j))] = 0 \\ &\quad 1 \leq j \leq P \end{aligned} \quad \dots \quad (2-18)$$

이 식을 보다 더 compact 한 식으로 쓰면,

$$\begin{aligned} E[(x(n) - \tilde{x}(n)) x(n-j)] &= E[d(n) x(n-j)] = 0, \\ &\quad 1 \leq j \leq P \end{aligned} \quad \dots \quad (2-19)$$

식 (2-18) 식은 P 방정식으로 확장하면

$$\begin{aligned} E[(x(n-j) x(n))] + E[e(n-j) x(n)] \\ &+ \sum_{k=1}^P \alpha_k E[x(n-j) x(n-k)] \\ &+ \sum_{k=1}^P \alpha_k E[x(n-j) e(n-k)] \\ &+ \sum_{k=1}^P \alpha_k E[e(n-j) e(n-k)] \end{aligned} \quad \dots \quad (2-20)$$

여기서  $1 \leq j \leq P$  이다.

$e(n)$  이 stationary white noise sequence이고  $e(n)$  이  $x(n)$  과 uncorrelated 하다고 가정할 수 있다.

$$E[(x(n-j) e(n-k))] = 0, \quad \text{for all } n, j \text{ and } k \quad \dots \quad (2-21)$$

$$E[(e(n-j) e(n-k))] = \sigma_e^2 \delta(j-k)$$

윗식을 사용하면 식 (2-15) 은

$$\phi(j) = \sum_{k=1}^P \alpha_k (\phi(j-k) + \sigma_e^2 \delta(j-k)), \quad 1 \leq j \leq P \quad \dots \quad (2-22)$$

$\phi(j)$  는  $x(n)$  的 auto correlation function이다.  $\sigma_x^2$  에 의한 윗 방정식과 normalized 된 auto-correlation 을 다음과 같이 정의한다.

$$\rho(j) = \frac{\phi(j)}{\sigma_x^2} \quad \dots \quad (2-23)$$

matrix 형태로 식 (2-15) 을 쓰면

$$\rho = c \alpha \quad \dots \quad (2-24)$$

$$\rho = \begin{bmatrix} \rho(1) \\ \rho(2) \\ \vdots \\ \rho(P) \end{bmatrix} \quad \dots \quad (2-25)$$

$$c = (1 + \frac{1}{SNR}) \rho(1) \dots \rho(p-1)$$

$$c = \rho(1)(1 + \frac{1}{SNR}) \dots \rho(p-2) \dots (1 + \frac{1}{SNR}) \rho(p-1) \rho(p-2) \dots (1 + \frac{1}{SNR})$$

$$\alpha = \begin{bmatrix} \alpha_1 \\ \alpha_2 \\ \vdots \\ \alpha_p \end{bmatrix} \quad \dots \quad (2-27)$$

$$SNR = \frac{\sigma_x^2}{\sigma_e^2}$$

optimum predictor coefficient의 vector는 윗식의 해에서 얻어진다.

$$\alpha = c^{-1} \rho$$

1/SNR term 을 생략하고  $p = 1$  로 가정하면

$$\alpha_1 = \frac{\rho(1)}{1 + \frac{1}{SNR}} \quad \dots \quad (2-28)$$

이 식은  $\alpha_1 < \rho_1$ 임을 나타낸다.

optimum Gp 를 얻기 위하여

$$\begin{aligned} \sigma_d^2 &= E[(x(n) - \tilde{x}(n))(x(n) - \tilde{x}(n))] \\ &= E[(x(n) - \tilde{x}(n)) x(n)] - E[(x(n) - \tilde{x}(n)) \tilde{x}(n)] \end{aligned} \quad \dots \quad (2-29)$$

예전치는 predictor 계수와 uncorrelated 하다.

$$\begin{aligned}\sigma_d^2 &= E[(x(n) - \tilde{x}(n))x(n)] \\ &= E[x^2(n) - E[\sum_{k=1}^p \alpha_k x(n-k) + e(n-k)]x(n)] \\ &\dots \quad \langle 2-30 \rangle\end{aligned}$$

uncorrelat 한 signal 과 noise에 대해서

$$\begin{aligned}\sigma_d^2 &= \sigma_x^2 - \sum_{k=1}^p \alpha_k \phi(k) \\ &= \sigma_x^2 [1 - \sum_{k=1}^p \alpha_k \rho(k)]\end{aligned}$$

식 2-8 식으로 부터

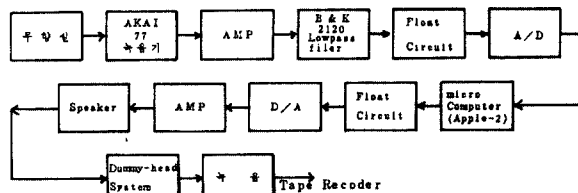
$$(G_p)_{opt} = \frac{1}{1 - \alpha_1 \rho(1)} \quad \langle 2-31 \rangle$$

optimal  $G_p$  값이 구해진다.

### 3. 실험 및 결과 고찰

#### 3-1. 실험장치

〈그림 3-1〉은 본 실험에서 사용한 Block-Diagram이다. 무향실에서 마이크로폰을 가지고 tape recorder에 1 channel로 4명의 화자에 의해서 발성된 문장(12일까지 서울에 잔다)을 녹음 시킨다. 그 녹음된 문장을 중복한 다음 Low pass filter로 통과시키고 TTL Level 전압을 맞춘 다음 conversion time  $50 \mu\text{-sec}$ ) 8bit로 sampling 한 Data를 μ-computer로 받는다.



〈그림 3-1〉 ADPCM, DPCM, ADM, DM을 얻기 위하여

Interface 한 Block-Diagram.

i) PCM data는 ADPCM방식에 의하여 문장을(26 k byte)을 합성하였다.

합성된 음은 dummy-head, headphone system을 통하여 녹음하였다.

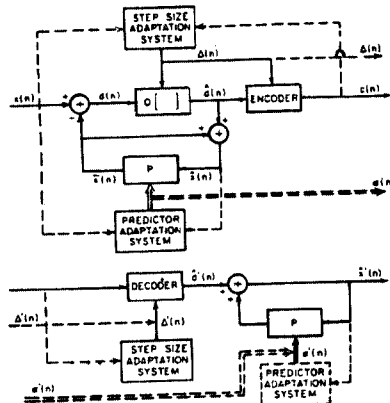
녹음조건은 음압과 소음을 각각 20 dB, 40 dB, 60 dB, 80 dB로 10 m 떨어진 거리에서 녹음하였다. 피실험자로는 “ADPCM합성음의 인식률 시험표를 만든 다음 24 ~ 30 세의 정상적 청각을 가진 10인의 대학원생으로 치루었다.

#### 3-2. 결과 및 고찰

파형 부호화 방식의 대표적인 ADPCM방식은 Sample

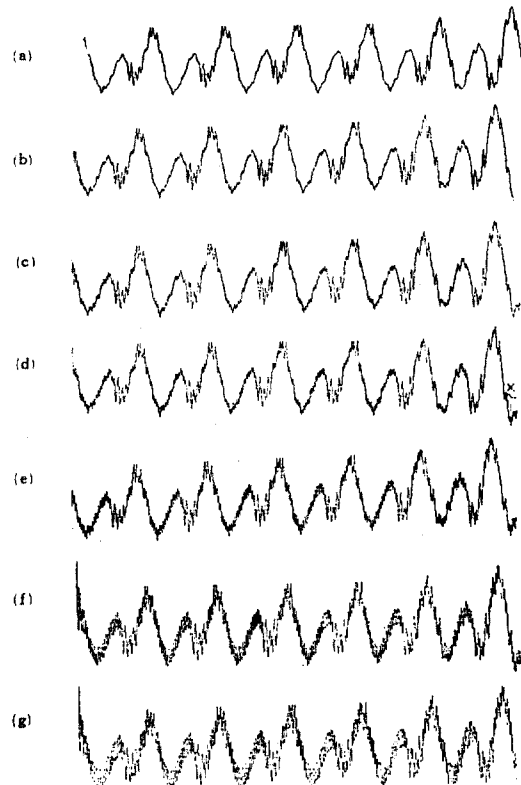
값 사이의 차분 신호 적용 부호화 방식이다.

이 방법은 차분 신호값의 양자화폭  $\Delta i$ 를 앞의 Sample 값의 절과로 부터 정하는 방법이다.



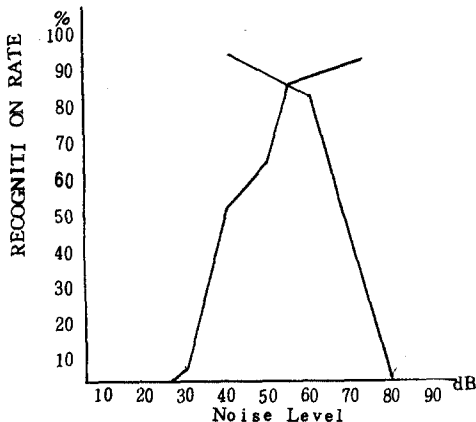
〈그림 3-2〉 ADPCM의 Block-Diagram

여기서 step size는 Jayant가 제시한 최적  $\Delta$ 값을 사용하였으며  $\Delta_{min}$  value은 simulation 하여  $\Delta_{min} = 3$  으로 하였다.



〈그림 3-3〉 ADPCM방식에 의한 합성음 “심” 음의 자

$\Delta_{min}$ 과  $\Delta_{max}$ 의 Noise에 의한 일그러진 모양

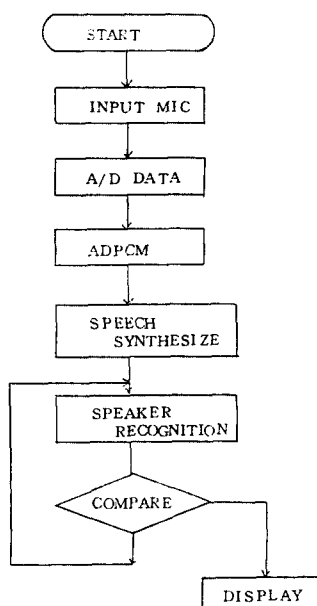


&lt;그림 3-4&gt; 인식률에 대한 음압과 white-Noise 와의 관계

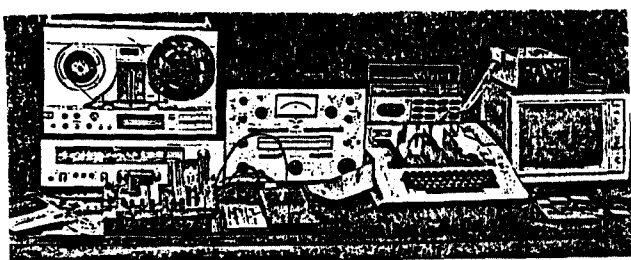
음성 신호의 digital coding 중 ADPCM방식으로 문장음을 합성하였다. 그 합성음은 두 음향 factor 사이의 trade off point 가 56dB이고 이점에서 가장 좋은 청취조건을 얻었다.

이렇게 해서 얻은 인식은 speech under standing 과 음성인식 ( speech identification ) 과 음성 intelligence 를 향상시키는 parameter로 사용될 수 있다.

## 참 고 문 헌



SYSTEM CONTROL FLOW CHART



&lt;그림 3-5&gt; 전체 실험장치도

1. J.L. Flana GAL, Voice Man and machines Bell Lab, Murroy hill.
2. 石井聖光, 音聲 昭和 52 年.
3. 中田和男, 音聲情報處理의 基礎 昭和 56 .
4. 中田和男, 音聲デベイス活用의 實際 昭和 56 .
5. 鈴木八十二, ディジタル音聲合成器의 設計, 1982.
6. 박준영, 오디오리움에서 명료도 특성에 관한 연구, 1982.
7. A.H.Gray, Quantization and Bit allocation in speech processing IEEE Assp 1976.
8. JAYANT, Digital coding of sheech wave forms: PCM, DPCM, and DM Quantizers, IEEE 1984.
9. 은종관, A study of the comparative performance of adaptive Delta modulation systems, IEEE 1980.
10. L.R. Rabiner/R.W. Schafer, Digital Processing of Speech Signals 1982.
11. OSMU Fujimura, Kobayasi, Nasalization of vowel in Radiation to Nasals, J.A.S.A. 1958.
12. K.N. Stevens, Speake authentification and Identification Acomparison of Spectrographic and Auditory Presentations of Speech Material, J.A.S.A. 1968.
13. OSMU Fujimura, Nasalization of vowels in Relation to Nasals J.A.S.A. 1958.
14. 차일환, '개인 식별에 관한 연구', 1982.